

Une brève histoire de la carte à puce

Pascal Lafourcade



Mars 2023

Plan

Histoire

Technologie

Attaques

- Yes Card

- Side channels (Canaux cachés)

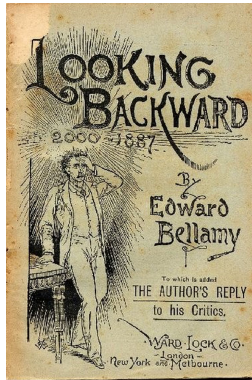
- Injection de fautes

Application IOT : Distance Bounding

Conclusion

1887 “Looking Backward”, de Edward Bellamy

Nouvelle utopique



Introduction du terme “credit card” (11 occurrences)

1914 Western Union

Identification sur une plaque de métal, paiement différé



1920 : Cartes de crédits pour des chaînes d'Hotels et de stations.

1950 Diner Club (USA)



DINERS' CLUB
THE NUMBER ONE CREDIT CARD

FIRST IN MEMBERSHIP
FIRST IN QUALITY
FIRST IN EXPERIENCE
FIRST IN SERVICE

More people carry Diners' Club cards than the next two general credit cards combined. The reason - obviously, the Diners' Club offers more. Because the unique benefits of your Diners' Club card with those of other credit cards. The Diners' Club provides more coverage geographically, more quality establishments and more variety in charge facilities.

The Diners' Club is unquestionably the greatest credit card value. Since it serves your every need... you really don't need a second credit card!

© 1950 AND 1951 RESPECTIVELY BY THE Diners' CLUB, THE Diners' CLUB COMPANY AND THE Diners' CLUB COMPANY OF CALIFORNIA, INC. ALL RIGHTS RESERVED.

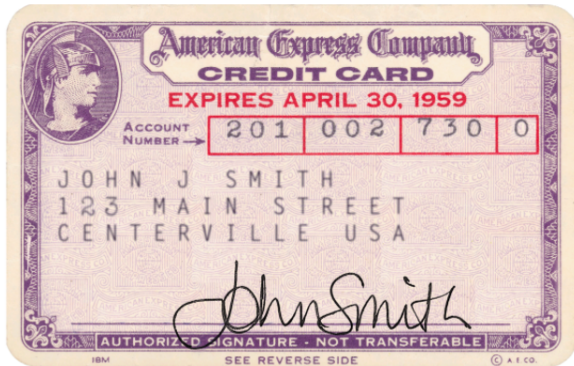
the *Diners' Club*® pioneer and leader in world wide credit
Diners' Club, 29 Columbia Street, N. Y. 10, N. Y. © 1950 300 N. La Cienega Blvd. Los Angeles 45, Calif. 90, © 1950



LIMPE

Plastic cards, paiement différé avec intérêts

1951 American Express



1958 Carte Gold

1967 Carte Bleue (CB)



6 banques françaises

Numéro de CB : Algorithme de Luhn 10

Numéro à 16 chiffres

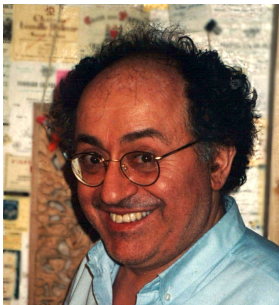


$C_{15}C_{14}C_{13}C_{12} - C_{11}C_{10}C_9C_8 - C_7C_6C_5C_4 - C_3C_2C_1C_0$

Multiplier les chiffres d'indice impair par 2 (soustraire 9 si le nombre obtenu est supérieur à 9)

La somme de tous ces chiffres additionnés aux chiffres d'indice pair doit être un multiple de 10.

1974 Carte à puce, Roland Moreno



25 mars 1974, Brevet 74.10191 (INNOVATRON)
Carte vitale, SIM, identité, TV, téléphone (1983 “Carte pyjama”)
1992 toutes les cartes bancaires françaises offrent des cartes à puces.

1977 Michel Ugon



- ▶ 1977, carte à microprocesseur (Motorola chip by BULL CP8, bi-puces)
- ▶ 1979, CII-Honeywell Bull et Motorola : une mémoire 2716 EPROM et un microprocesseur 8 bits Mostek 3870.
- ▶ 1981, le brevet SPOM (Self Programmable One Chip

Microprocessor)

Historique

- ▶ 1974, Brevet de R.Moreno
- ▶ 1977, Brevet de M.Ugon
- ▶ 1987, Première norme ISO 7816
- ▶ 1988, Spécification de la carte SIM
- ▶ 1994, EMV
- ▶ 1995, Attaque DPA Paul Kocher
- ▶ 1997, Brevet Java Card, US 6,308,317
- ▶ 1989, First version of the GSM
- ▶ 2000, Windows for Smart Card
- ▶ 2002, dotnet smart card, Hiveminded
- ▶ 2013 NFC deployment
- ▶ 2016 eSE(apple pay, Samsung Pay)

Plan

Histoire

Technologie

Attaques

- Yes Card

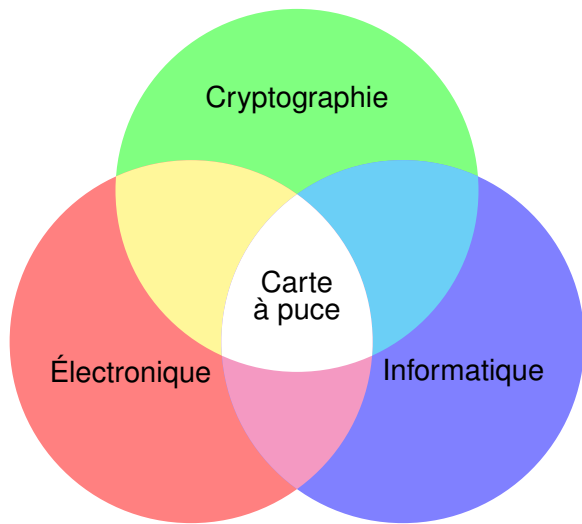
- Side channels (Canaux cachés)

- Injection de fautes

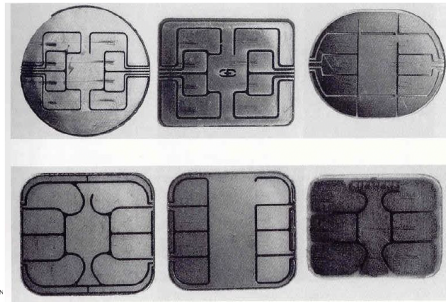
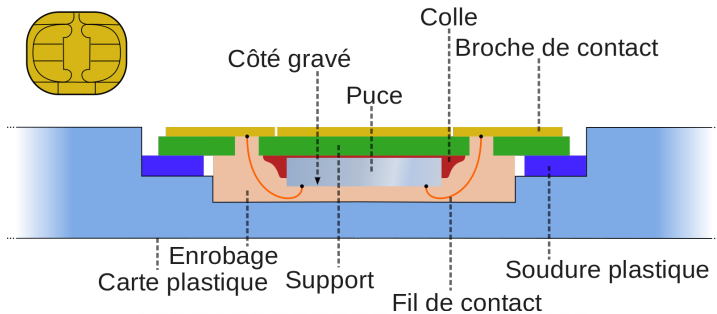
Application IOT : Distance Bounding

Conclusion

Au carrefour des technologies



Carte à puce



3 Marchés principaux

Télécommunication (70 % des revenus)

Augmenter la pénétration des SIM

Services financiers (20% des revenus)

EMV migration

ID / Sécurité (10% des revenus)

Émergence des nouveaux marchés

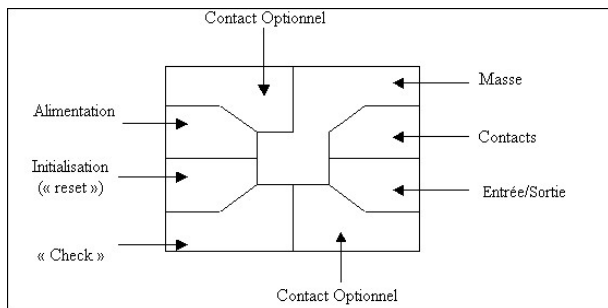


Les acteurs principaux

- ▶ Fabricants de Smart Card :   
- ▶ Vendeurs de circuits intégrés :  
  
- ▶ Consortium industriel :   
- ▶ Vendeurs d'appareils :  
- ▶ Développeurs d'applications : Thales-DIS (Gemalto), Idemia (Oberthur Technologies + Sagem-Morpho)
- ▶ Autorités de normes et de certifications : ANSSI, ETSI, ISO ...
- ▶ Utilisateurs : télécommunications, banques, gouvernements

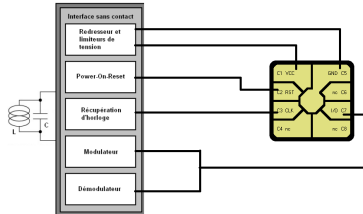
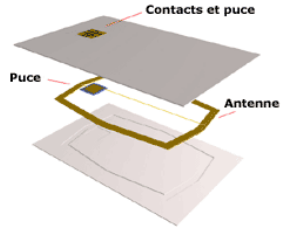
Norme ISO 7816

Taille : $85\text{mm} \times 54\text{mm} \times 0.76\text{mm}$



Communication half-duplex, asynchrone, sans horloge.
Format des données APDU (Application Programming Data Units)

Sans contact



La genèse NFC



- ▶ 1994, Mifare 1K
- ▶ 2001, Standards ISO 14443 (13,56 Mhz) : Type A (Mifare) et Type B
- ▶ Mifare (NXP), ISO14443A, ISO14443B, Felica (Sony)

3 modes fonctionnels :

- ▶ Reader/Writer
- ▶ Card Emulation
- ▶ Peer to Peer

Trusted Platform Module - TPM 2006

Trusted Computing Group, TPM 2.0 en 2014



Atmel, Broadcom, Infineon, Intel, Nuvoton (anciennement Winbond), Sinosun et STMicroelectronics

Trusted execution environment ARM sous la marque TrustZone.

Plan

Histoire

Technologie

Attaques

- Yes Card

- Side channels (Canaux cachés)

- Injection de fautes

Application IOT : Distance Bounding

Conclusion

Yes Card

1997, Serge Humpich casse la clé privée RSA de 320 bits.



Création de cartes acceptées par tous terminaux
⇒ 10 mois de prison

Exemple du Digicode



- ▶ Digicode avec 10 nombres possibles (0..9)
- ▶ Un code composé de 4 nombres
- ▶ A chaque erreur d'un chiffre une lumière rouge s'allume sinon une lumière verte s'allume.

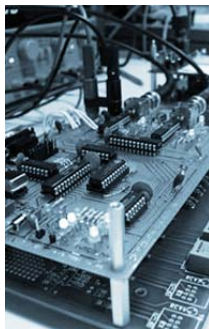
Combien d'essais sont nécessaires pour ouvrir la porte protégée avec ce digicode ?

Differents types de Canaux Cachés

But obtenir des informations sur un secret ou une clé par l'observation :

- ▶ Temps
- ▶ Énergie
- ▶ Cache
- ▶ Émission électromagnétique ...

Timing Attacks on Implementations of Diffie–Hellman, RSA, DSS, and Other System... Paul Kocher - CRYPTO - 1996



Code Pin à l'épreuve du temps

Pour un 8 bytes code PIN, il y a $(2^8)^8 = 256^8$ possibilités par attaque par Brute Force.

Programme

```
for ( i = 0 ; i <= 7; i++)  
    if ( pinCarte[i] != pinPresente[i] )  
        return false;  
return true ;
```

Combien faut-il d'essais pour trouver le code PIN vérifié par ce programme ?

Code correct

Program

```
boolean test = true ;  
for ( i = 0 ; i <= 7; i++)  
    test = test && ( pinCarte[i] == pinPresente[i])  
return test ;
```

Rivest Shamir Adelman (RSA 1978)

Soit $n = pq$, p et q deux nombres premiers.

Clé Publique : (e, n)

Clé Secrète : d où $d = e^{-1} \pmod{\phi(n)}$
et $\text{pgcd}(e, \phi(n)) = 1$

Chiffrement : $c = m^e \pmod{n}$

Déchiffrement: $m = c^d \pmod{n}$

Correction

$c^d = m^{de} = m \cdot m^{k\phi(n)} \pmod{n}$

Rappel : Théorème d'Euler $\forall x \in (\mathbb{Z}/n\mathbb{Z})^*$, $x^{\phi(n)} = 1 \pmod{n}$



Calcul naïf

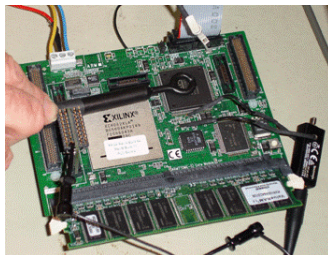
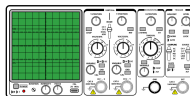
```
def expo(n, p, x) :  
    res = 1  
    for i in range(n) :  
        res = res * x % p  
    return res
```

Exponentielle rapide

L'algorithme d'**exponentielle rapide** calcule plus vite $x^n \bmod p$

$$\text{expo}(x, n, p) = \begin{cases} 1, & \text{si } n = 0 \\ \text{expo}(x^2 \bmod p, n/2, p), & \text{si } n \text{ est pair} \\ x \times \text{expo}(x^2 \bmod p, (n-1)/2, p) \bmod p, & \text{si } n \text{ est impair} \end{cases}$$

Mesurer la consommation électrique

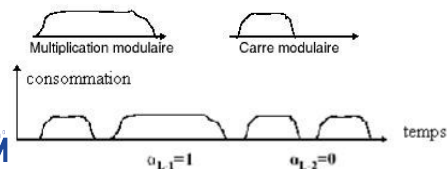


Attaque par consommation électrique sur le déchiffrement de RSA

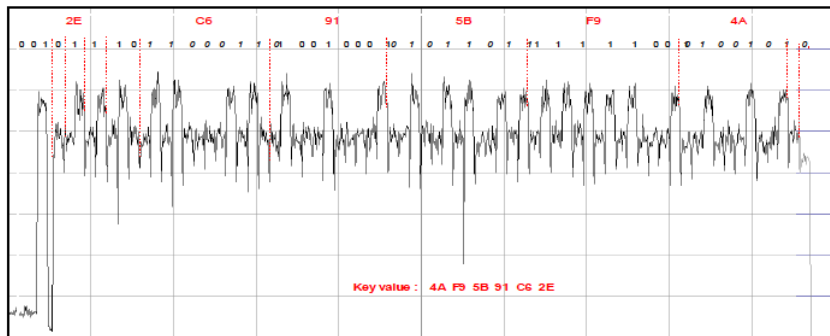
Pour déchiffrer, il faut calculer $y^d \bmod n$, où y est le chiffré, n est public et d est la clé secrète.

Programme d'exponentielle rapide

```
s = 1 ;  
for ( i = L-1 ; i >= 0 ; i -- ) {  
    s = s*s mod n ;  
    if ( d [ i ] == 1 )  
        s = s*y mod n ;  
}  
return s
```

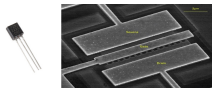


In reality



PIN injection test

Glitch, sur la variable `status`



```
procedure VERIFY PIN(candidate PIN V)
status = COMPARISON(U,V)
if status = TRUE then
    Perform transaction
else
    Halt
end if
return
```

Attaques

Température : Apple Coldgate!

- ▶ Préparation : d'aucune à une décapsulation
- ▶ Contremesures : Température du capteur

Clock glitches

- ▶ Préparation : Aucune
- ▶ Contremesures : Utiliser une horloge interne

Voltage glitches

- ▶ Préparation : d'aucune à ôter les protections
- ▶ Contremesures : Régulateur de voltage

Rappel : Théorème des restes Chinois

$$\mathbb{Z}/n\mathbb{Z} \cong \mathbb{Z}/p\mathbb{Z} \times \mathbb{Z}/q\mathbb{Z}$$

Soient n_1, \dots, n_k des entiers deux à deux premiers entre eux, c'est-à-dire que $\text{PGCD}(n_i, n_j) = 1$ lorsque $i \neq j$. Alors pour tous entiers a_1, \dots, a_k , il existe un entier x , unique modulo $n = \prod_{i=1}^k n_i$, tel que :

$$x \equiv a_1 \pmod{n_1}$$

...

$$x \equiv a_k \pmod{n_k}$$

$$x = \sum_{i=1}^k a_i \times e_i$$

Où, $e_i = \frac{n}{n_i} \times \left(\left(\frac{n}{n_i}\right)^{-1} \pmod{n_i}\right)$

Utilisé pour RSA et dans l'algorithme de Silver-Pohlig-Hellman

LIMOS pour le calcul du logarithme discret.

Calculs rapides : 99, 98, 97

Remarques :

- ▶ $99 \times 98 \times 97 = 941094$
- ▶ 99, 98, 97 sont premiers entre eux.

Calculer

$$x = a_1 \pmod{99}$$

$$x = a_2 \pmod{98} \Rightarrow (a_1, a_2, a_3)$$

$$x = a_3 \pmod{97}$$

et

$$y = b_1 \pmod{99}$$

$$y = b_2 \pmod{98} \Rightarrow (b_1, b_2, b_3)$$

$$y = b_3 \pmod{97}$$

Puis calculer $(c_1, c_2, c_3) = (a_1 \times b_1, a_2 \times b_2, a_3 \times b_3)$

$$x \times y = c_1 \pmod{99}$$

$$x \times y = c_2 \pmod{98}$$

$$x \times y = c_3 \pmod{97}$$

Signature RSA-CRT

Rappel Signature RSA :

$$\sigma = m^d \pmod n \text{ où } sk = d, pk = (e, n), n = pq$$

Signature RSA-CRT

- ▶ Calculer, $s_1 = m^d \pmod p$ et $s_2 = m^d \pmod q$
- ▶ Pré-calculer $a = q \times (q^{-1} \pmod p)$ et $b = p \times (p^{-1} \pmod q)$
- ▶ $m^d \pmod n = a \times s_1 + b \times s_2$

Grâce au théorème des restes Chinois :

$$\begin{aligned} m^d \pmod n &= a \times s_1 + b \times s_2 \\ &= q \times (q^{-1} \pmod p) \times m^d \pmod p + \\ &\quad p \times (p^{-1} \pmod q) \times m^d \pmod q \\ &= m^d \pmod (p \times q) \\ &= m^d \pmod n \end{aligned}$$

Attaque de Bellcore, D.Boneh 1997

$$\sigma = m^d \bmod n = a \times s_1 + b \times s_2$$

$$a = q \times (q^{-1} \bmod p) \text{ et } b = p \times (p^{-1} \bmod q)$$

Injection de la faute sur s_1

$$\sigma^* = a \times s_1^* + b \times s_2$$

Première observation : $\sigma \bmod q = b \times s_2 = \sigma^* \bmod q$

ainsi $\sigma - \sigma^* = 0 \bmod q$, donc q divise $\sigma - \sigma^*$.

Seconde observation : $\sigma \bmod p = a \times s_1 \neq \sigma^* \bmod p = a \times s_1^*$

donc $\sigma - \sigma^* \neq 0 \bmod p$

donc p ne divise pas $\sigma - \sigma^*$.

Ainsi : $\text{pgcd}(\sigma - \sigma^*, n = p \times q) = q$

Plan

Histoire

Technologie

Attaques

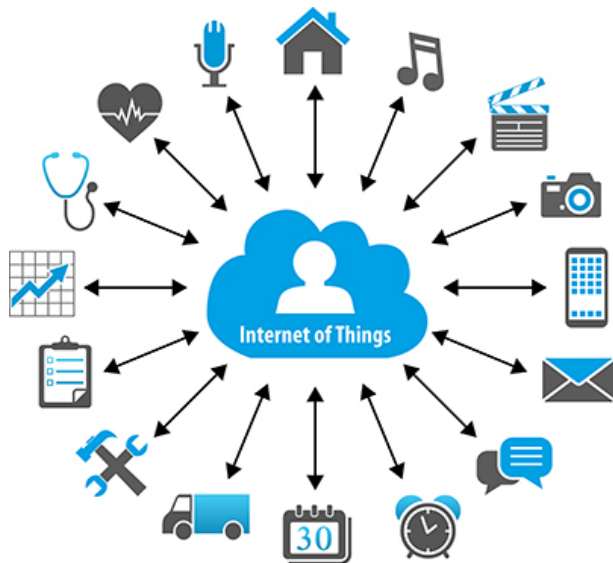
- Yes Card

- Side channels (Canaux cachés)

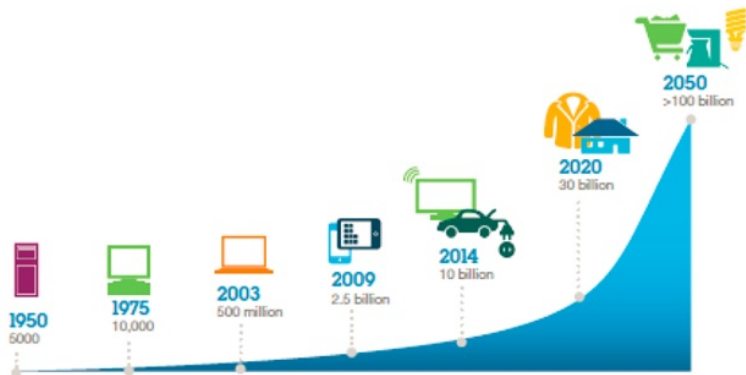
- Injection de fautes

Application IOT : Distance Bounding

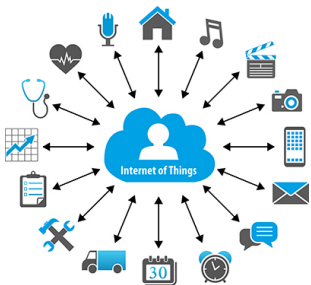
Conclusion



IoT



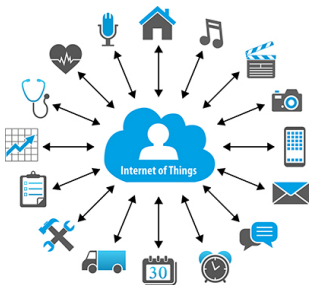
Raison de ce succès



Usage

- ▶ Monitoring
- ▶ Hyperconnectivité
- ▶ Disponibilité
- ▶ Open data

Raison de ce succès



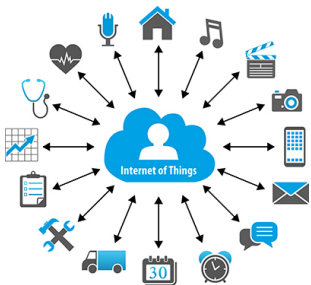
Usage

- ▶ Monitoring
- ▶ Hyperconnectivité
- ▶ Disponibilité
- ▶ Open data

Technologie

- ▶ Communications sans fils: Wifi, 3G, 4G, Bluetooth ...
- ▶ Batteries
- ▶ CPU
- ▶ Capteurs
- ▶ Prix

Raison de ce succès



Usage

- ▶ Monitoring
- ▶ Hyperconnectivité
- ▶ Disponibilité **Sécurité?**
- ▶ Open data

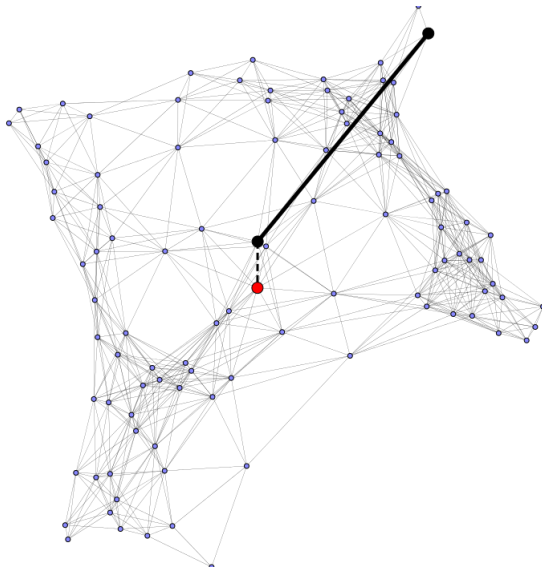
Technologie

- ▶ Communications sans fils:
Wifi, 3G, 4G, Bluetooth ...
- ▶ Batteries
- ▶ CPU
- ▶ Capteurs
- ▶ Prix

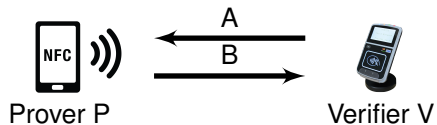
Ces objets sont partout



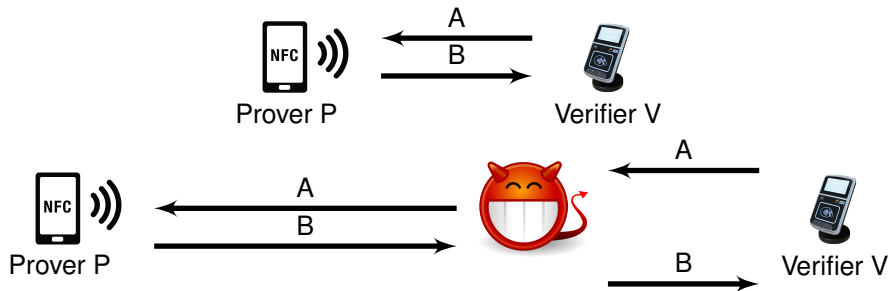
“Wormhole Attack”



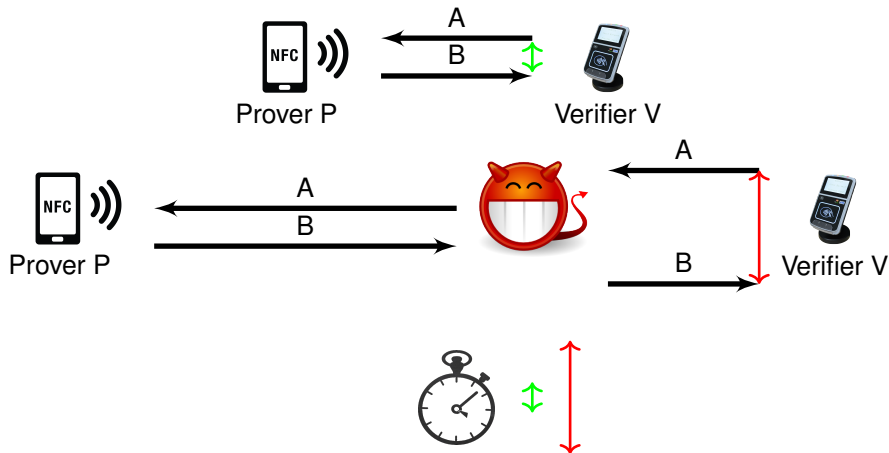
Distance Bounding Idée



Distance Bounding Idée

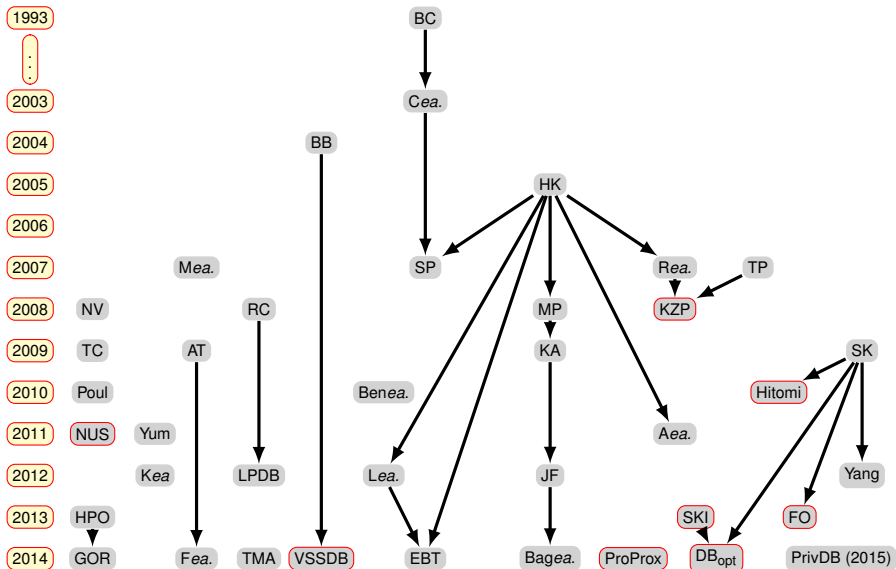


Distance Bounding Idée



Solution against MF: Distance Bounding (Brands and Chaum, 1991)

42 protocoles de 1993 à 2015.



Plan

Histoire

Technologie

Attaques

- Yes Card

- Side channels (Canaux cachés)

- Injection de fautes

Application IOT : Distance Bounding

Conclusion

Conclusion

- ▶ Les mathématiques sont aussi dans les cartes à puce
- ▶ Les attaquants sont puissants et créatifs
- ▶ Le diable se cache dans les détails

Thank you for your attention!

Questions?

pascal.lafourcade@uca.fr